



## SANKI-BİR-BOYUTLU KAVİTASYONLU LÜLE AKIŞLARININ YENİ KABARCIK GAZ BASINCI YASASIYLA MODELLENMESİ

Şenay PASİNLIÖĞLU (ORCID: 0000-0003-3151-5309)<sup>1\*</sup>

Mehmet KAYA (ORCID: 0000-0003-1107-9896)<sup>2</sup>

Uğurcan MORKOYUN (ORCID: 0000-0002-3633-2168)<sup>3</sup>

Can Fuat DELALE (ORCID: 0000-0003-2655-8902)<sup>4</sup>

Erkan AYDER (ORCID: 0000-0002-0546-4838)<sup>5</sup>

<sup>1</sup>Matematik Bölümü, İstanbul Teknik Üniversitesi, İstanbul

<sup>2,3,5</sup>Makine Mühendisliği Bölümü, İstanbul Teknik Üniversitesi, İstanbul

<sup>4</sup>Makine Mühendisliği Bölümü, MEF Üniversitesi, İstanbul

Geliş / Received: 11.10.2019

Kabul / Accepted: 07.12.2019

### ÖZ

Bu çalışmanın amacı, deney sonuçlarıyla uyumlu ve ticari yazılımlara uyarlanabilen bir hidrodinamik kavitaşon modelinin geliştirilmesidir. Bunun için sanki-bir-boyutlu kabarcıklı kavitaşonlu lüle akışları için yeni kabarcık gaz basıncı yasası kullanılarak kabarcık sönüm mekanizmalarını içerecek şekilde bir hidrodinamik kavitaşon modeli geliştirilmiştir. Bu modelde kabarcıklı sıvı iki-fazlı homojen karışım olarak ele alınmış, kabarcık dinamiği için Rayleigh-Plesset denklemi kullanılmış ve kabarcık çekirdekleşmesi göz önünde bulundurulmuştur. Böylece sanki-bir-boyutlu kavitaşonlu lüle akışları için elde edilen denklem sistemi, kabarcık yarıçapı ve basınç katsayısi için birinci mertebeden denklem sistemi için başlangıç değer problemine dönüştürülmüştür. Başlangıç değer probleminin sayısal çözümü için Runge-Kutta-Fehlberg uyarlanmış adım büyülüğu yöntemi kullanılmış ve elde edilen sonuçlar deney sonuçlarıyla karşılaştırılarak yorumlanmıştır.

**Anahtar kelimeler:** kavitaşonlu lüle akışları, kavitaşon modelleri, kabarcık dinamiği

## MODELING OF QUASI-ONE-DIMENSIONAL CAVITATING NOZZLE FLOWS BY THE NOVEL BUBBLE GAS PRESSURE LAW

### ABSTRACT

The aim of this study is to develop a hydrodynamic cavitation model that is compatible with the results of the experiments and that can be adapted to commercial software. For this reason a hydrodynamic cavitation model that takes into account all of the damping mechanisms using the novel bubble gas pressure law is developed for quasi-one-dimensional bubbly cavitating nozzle flows. In this model the bubbly liquid is assumed to be a two-phase homogeneous mixture, the Rayleigh-Plesset equation is employed for bubble dynamics, and bubble nucleation process is neglected. The first order system of equations thus obtained for quasi-one-dimensional cavitating nozzle flows is transformed into an initial value problem for the bubble radius and the pressure coefficient. A numerical code is then written to solve this initial value problem by the adaptive step size Runge-Kutta-Fehlberg method. Results obtained at the experimental conditions were compared and interpreted with the results of experiments.

**Keywords:** cavitating nozzle flows, cavitation models, bubble dynamics

\*Corresponding author / Sorumlu yazar. Tel.: (0505) 674 9882; e-mail / e-posta: pasinliogl@itu.edu.tr

## 1. GİRİŞ

Kavitasyon, sıvı basıncının hemen hemen sabit bir sıcaklıkta sıvinin doyma basıncının altına düşmesiyle sıvı içinde buhar kabarcıklarının oluşması olayıdır. Akış halindeki bir sıvida, özellikle sıvinin küçük kesitlerden büyük hızla geçişi kavitasyonlu akışlara neden olmaktadır. Bir su türbini, gemi pervanesi, su pompası kavitasyonla elverişli koşullar altındadır. Kavitasyonlu akışlarda sıvı içinde oluşan gaz/buhar kabarcıkları yeterli derecede düşük bir basınç bölgesine taşındığında adeta patlarcasına büyüterek makro boyutlara erişir ve yeniden yüksek basınç bölgesine taşındıklarında ise şiddetli bir şekilde büzülürler. Kavitasyonlu akışta gaz/buhar kabarcıklarının sıvida oluşup kaybolmaları son derece yüksek frekanslarla tekrarlanır ve kabarcıkların yok olması sırasında, çevredeki sıvinin hücumu sonucu şok dalgaları oluşur. Bu dalgalar boru cidarı, makina pervanesi gibi katı cisim üzerinde darbe etkisi yaratır ve sonuçta bu elemanların darbelere maruz kaldığı bölgeler aşınır. Kavitasyon konusundaki literatür çok zenginmasına karşın, verilen bir akış hali için kavitasyonun fiziksel mekanizması tam olarak anlaşılmış değildir. Konunun belli başlı kitapları arasında [1-4] sayılabilir. Ayrıca, bazı ayrıntılar için derleme makalelere [5,6] de başvurulabilir. Kavitasyonlu akışların kuramsal olarak modellenmesi zordur. Daimi olmayan kavitasyonlu akışların sayısal simülasyonu için genellikle homojen iki-fazlı akış modeli kullanılır. Bu akışlar için, geometrik açıdan en basit konfigürasyonu kavitasyonlu yakınsak-iraksak lüle akışları oluşturur. Yakınsak-iraksak bir lüleden geçen kabarcıklı sıvı akış modeli ilk kez barotropik bir bağıntı kullanılarak incelenmiştir [7]. Problem, daimi olmayan etkiler gözönüne alınarak [8]'de yeniden ele alınmış, fakat kabarcık dinamigi ihmali edilmiştir. Kavitasyonlu akışlar için kabarcık dinamigi yasası ile lüle akış denklemlerini birlikte düşünmek zorunludur. Klasik Rayleigh-Plesset denklemi ile tanımlanan küresel kabarcık dinamigi yasasını akış denklemlerine bağlayan sürekli bir kabarcıklı karışım akış modeli [9]'de önerilmiştir. Bu model kullanılarak, sanki-bir-boyutlu yakınsak-iraksak lülelerdeki kabarcıklı kavitasyonlu daimi akışların çözümleri [10,11]'de incelenmiştir. Daimi akış çözümlerinin yanısıra, patlayan çözümler de bulunmuştur. Ancak lüle geometrisi ve diğer parametreler sabit alınıp sadece bir parametrenin belirli bir aralıktı değiştirilmesi durumunda, sanki-bir-boyutlu lülelerde daimi akış çözümlerinin kararlı olduğu gösterilmiştir [12]. Bu modelin daimi olmayan akış hallerinde incelenmesi, özellikle deneylerde gözlenen bazı kavitasyonlu akış rejimlerinin (örneğin salınım yapan kavitasyon akışları, kavitasyonlu akışlarda şok dalgaları oluşumu, vb.) yorumlanması yol açmıştır ([13]). Daimi olmayan sanki-bir-boyutlu kavitasyonlu lüle akışlarının yarı-analitik çözümleri, kabarcık gaz basıncının adyabatik değiştiği varsayılarak [14]'te verilmiştir.

Bu çalışmada sanki-bir-boyutlu kavitasyonlu daimi olmayan lüle akışları için ısıl sönüm mekanizmasını [15,16] içeren hidrodinamik kavitasyon modeli ele alınacaktır. Kavitasyon modelinde kabarcıklı sıvı iki-fazlı homojen karışım olarak kabul edilmiş ve kabarcık çekirdekleşme süreci göz önünde bulundurulmamıştır. Kavitasyon modelinin uygulaması olarak lüle akış denklemleri ile küresel kabarcık dinamigi için Rayleigh-Plesset denklemi, özellikle akustik kavitasyon için geliştirilen yeni kabarcık gaz yasasıyla [16] birlikte ele alınmıştır. Kabarcık yarıçapı, akış hızı ve basınç katsayısı için elde edilen birinci mertebeden diferansiyel denklem sistemi, için başlangıç değer problemi tanımlanmıştır. Başlangıç değer probleminin sayısal çözümü için Runge-Kutta-Fehlberg uyarlanmış adım büyülüğu yöntemi kullanılmış ve elde edilen sonuçlar kavitasyonlu lüle akışları deneyleriyle karşılaştırılarak irdelenmiştir.

## 2. SANKİ-BİR-BOYUTLU LÜLELERDE KAVİTASYONLU AKIŞ MODELİ

Bu çalışmada sanki-bir-boyutlu kavitasyonlu daimi lüle akışları için elde edilen sonuçların, özellikle küresel kabarcık dinamiginin Rayleigh-Plesset tipi bir denklemle (örneğin klasik Rayleigh-Plesset veya Keller-Miksis denklemi) betimlendiği durumlarda kararsızlıklar göstermesi ve kavitasyonlu akışların zamana bağlı davranışlarından dolayı daimi olmayan sanki-bir-boyutlu kavitasyonlu lüle akışları ele alınmıştır. Daimi olmayan sanki-bir-boyutlu kavitasyonlu lüle akış denklemleri, iki-fazlı homojen kabarcıklı sıvı modelinde aşağıdaki hali alır [14]:

$$A' \frac{\partial \rho'}{\partial t'} + \frac{\partial}{\partial x'} (\rho' u' A') = 0 \quad (1)$$

$$\rho' \frac{du'}{dt'} = \rho' \left( \frac{\partial u'}{\partial t'} + u' \frac{\partial u'}{\partial x'} \right) = - \frac{\partial p'}{\partial x'} \quad (2)$$

$$\rho' = \rho_e'(1 - \beta) \quad (3)$$

**SANKI-BİR BOYUTLU KAVİTASYONLU LÜLE AKIŞLARININ YENİ KABARCIK GAZ BASINCI YASASIYLA MODELLENMESİ**

$$\frac{R'^3(1-\beta)}{\beta} = \frac{3}{4\pi\eta'_0} \quad (4)$$

Bu denklem sisteminde,  $\rho'$  karışım yoğunluğunu,  $\rho'_\ell$  sıvı yoğunluğunu,  $\beta$  hacimsel kabarcık oranını,  $\eta'_0$  birim sıvı hacmindeki kabarcık sayısını,  $u'$  akış hızını ve  $p'$  karışım basıncını göstermektedir. Lüle kesiti  $A'$  ile sembolize edilmiş olup  $x'$  ve  $t'$ , sırasıyla, orijin giriş kesitinde olmak üzere eksenel koordinatı ve zamanı,  $d/dt' = \partial/\partial t' + u'\partial/\partial x'$  hareketi izleyerek türev operatörünü göstermektedir. Daimi olmayan akışlarda küresel kabarcık dinamiği için Keller-Miksis denklemi yerine sıvinin sıkıştırılabilirliğinin ihmali edildiği durumlarda normalize edilmiş Rayleigh-Plesset deklemini kullanılmıştır:

$$R\ddot{R} + \frac{3}{2}\dot{R}^2 + \frac{\sigma}{2}\left(1 - \frac{1}{R^{3\Gamma}}\right) + \frac{4}{(\text{Re})}\frac{\dot{R}}{R} + \frac{2}{(\text{We})}\left(\frac{1}{R} - \frac{1}{R^{3\Gamma}}\right) + \frac{C_p}{2} = 0 \quad (5)$$

Lüle girişindeki statik basınç  $p'_0$ , giriş hızı  $U'_0$ , kabarcık yarıçapı  $R'_0$ , sıvinin kinematik viskozitesi  $\nu'_\ell$ , yüzey gerilim katsayısı  $S'$ , sıvı sıcaklığındaki doymuş buhar basıncı  $p'_v$  olmak üzere, (5) denkleminde kavitasyon sayısı  $\sigma$ , Reynolds sayısı  $\text{Re}$ , Weber sayısı  $\text{We}$ , ve basınç katsayısı  $C_p$

$$\sigma = \frac{p'_v - p'_0}{(\frac{1}{2})\rho'_\ell U_0'^2} \quad ; \quad \text{Re} = \frac{U'_0 R'_0}{\nu'_\ell} \quad ; \quad \text{We} = \frac{\rho'_\ell U_0'^2 R'}{S'} \quad ; \quad C_p = \frac{p' - p'_0}{(\frac{1}{2})\rho'_\ell U_0'^2} \quad (6)$$

şeklinde tanımlanır. (5) denklemindeki  $\Gamma$  ise, Delale ve Pasinlioğlu [16] tarafından önerilen indirgenmiş gaz basıncı yasasındaki politropik üs olup,  $f$  Peclet sayısına ve karekteristik zamana bağlı bir parametre ve  $\gamma$  izentropik üs olmak üzere

$$\Gamma = \frac{2\gamma(1+f)}{(3\gamma-1+2f)} \quad (7)$$

olarak tanımlanır. Karışım yoğunluğu  $\rho'$ , lüle ekseni boyunca akış hızı  $u'$ , kabarcık yarıçapı  $R'$ , lüle kesit alanı  $A'$ , lüle ekseni uzunluğu  $x'$  ve zaman koordinatı  $t'$

$$\rho = \frac{\rho'}{\rho'_\ell}, \quad u = \frac{u'}{U'_0}, \quad R = \frac{R'}{R'_0}, \quad A = \frac{A'}{A'_0}, \quad x = \frac{x'}{R'_0}, \quad t = \frac{t'}{\Theta'} = \frac{U'_0 t'}{R'_0} \quad (8)$$

şeklinde normalize edilirse, (1)-(4) denklemeleri aşağıdaki normalize hali alır:

$$A \frac{\partial \rho}{\partial t} + \frac{\partial}{\partial x} (\rho u A) = 0 \quad (9)$$

$$\rho \left( \frac{\partial u}{\partial t} + u \frac{\partial u}{\partial x} \right) = -\frac{1}{2} \frac{\partial C_p}{\partial x} \quad (10)$$

$$\rho = 1 - \beta \quad (11)$$

ve

$$\frac{R^3(1-\beta)}{\beta} = \frac{1-\beta_0}{\beta_0} = \kappa_0^3. \quad (12)$$

(9)-(12) denklemeleri kullanılarak kabarcık yarıçapı  $R$  ve normalize hız  $u$  için aşağıdaki evrim denklemeleri elde edilir:

$$\frac{\partial R}{\partial t} = -u \frac{\partial R}{\partial x} + \frac{(R^3 + \kappa_0^3)}{3R^2} \left[ \left( \frac{1}{A} \frac{dA}{dx} \right) u + \frac{\partial u}{\partial x} \right] \quad (13)$$

ve

$$\frac{\partial u}{\partial t} = -u \frac{\partial u}{\partial x} - \frac{(R^3 + \kappa_0^3)}{2\kappa_0^3} \frac{\partial C_p}{\partial x}. \quad (14)$$

Rayleigh-Plesset denklemi (5)'te kabarcık cidar hızı  $\dot{R}$  ve ivmesi  $\ddot{R}$  ifadeleri, (13) denklemi kullanılarak

$$\dot{R} = \frac{(R^3 + \kappa_0^3)}{3R^2} \left[ \left( \frac{1}{A} \frac{dA}{dx} \right) u + \frac{\partial u}{\partial x} \right] \quad (15)$$

$$\ddot{R} = \frac{(R^3 - 2\kappa_0^3)(R^3 + \kappa_0^3)}{9R^5} \left[ \left( \frac{1}{A} \frac{dA}{dx} \right) u + \frac{\partial u}{\partial x} \right]^2 + \frac{R^3 + \kappa_0^3}{3R^2} \left[ u^2 \frac{d}{dx} \left( \frac{1}{A} \frac{dA}{dx} \right) - \left( \frac{\partial u}{\partial x} \right)^2 \right] \\ - \frac{R^3 + \kappa_0^3}{6R^2 \kappa_0^3} \left[ (R^3 + \kappa_0^3) \left( \frac{1}{A} \frac{dA}{dx} \right) + 3R^2 \frac{\partial R}{\partial x} \right] \frac{\partial C_p}{\partial x} - \frac{(R^3 + \kappa_0^3)^2}{6R^2 \kappa_0^3} \frac{\partial^2 C_p}{\partial x^2} \quad (16)$$

şeklinde yazılır. (15) ve (16) denklemleri Rayleigh-Plesset denklemi (5) denkleminde yerine konulursa, basınç katsayı  $C_p$  için ikinci mertebeden lineer

$$\frac{\partial^2 C_p}{\partial x^2} + \left[ \left( \frac{1}{A} \frac{dA}{dx} \right) + \frac{3R^2}{R^3 + \kappa_0^3} \frac{\partial R}{\partial x} \right] \frac{\partial C_p}{\partial x} - \frac{3R\kappa_0^3}{(R^3 + \kappa_0^3)^2} C_p = S \quad (17)$$

denklemi elde edilir. Burada  $S$

$$S = \frac{\kappa_0^3(5R^3 - \kappa_0^3)}{3R^3(R^3 + \kappa_0^3)} \left[ \left( \frac{1}{A} \frac{dA}{dx} \right) u + \frac{\partial u}{\partial x} \right]^2 + \frac{8\kappa_0^3}{(\text{Re})R^2(R^3 + \kappa_0^3)} \left[ \left( \frac{1}{A} \frac{dA}{dx} \right) u + \frac{\partial u}{\partial x} \right] \\ + \frac{2\kappa_0^3}{(R^3 + \kappa_0^3)} \left[ u^2 \frac{d}{dx} \left( \frac{1}{A} \frac{dA}{dx} \right) - \left( \frac{\partial u}{\partial x} \right)^2 \right] + \frac{6R\kappa_0^3}{(R^3 + \kappa_0^3)^2} \left[ \frac{\sigma}{2} \left( 1 - \frac{1}{R^{3\Gamma}} \right) + \frac{2}{We} \left( \frac{1}{R} - \frac{1}{R^{3\Gamma}} \right) \right] \quad (18)$$

şeklinde tanımlanır. (13)-(14) evrim denklemleriyle (17)-(18) denklemleri, lüle ekseni boyunca ( $0 < x < L$ ;  $L$  = boyutsuz lüle uzunluğu) ve  $t > 0$  olmak üzere kabarcık yarıçapı  $R(x, t)$ , akış hızı  $u(x, t)$  ve basınç katsayı  $C_p(x, t)$  için kısmi türevli denklem sistemi oluştururlar. Bu denklem sisteminin çözümü için başlangıç ve sınır koşulları aşağıdaki gibi belirlenir:

$$R(x, 0) = R_0(x) ; u(x, 0) = u_0(x) ; R(0, t) = R_l(t) ; u(0, t) = u_l(t) ; C_p(0, t) = C_1(t) \text{ ve } C_p(L, t) = C_2(t) \quad (19)$$

şeklinde yazılabılır. Yukarıdaki başlangıç ve sınır değerleri kullanılarak (13), (14), (17) ve (18) denklemlerinin çözümünden kabarcık hacimsel oranı  $\beta$  ve normalize edilmiş sıvı-kabarcık karışım yoğunluğu  $\rho$

$$\beta = \frac{R^3}{R^3 + \kappa_0^3}, \quad \rho = 1 - \beta = \frac{\kappa_0^3}{R^3 + \kappa_0^3} \quad (20)$$

şeklinde hesaplanır. Normalize kabarcık yarıçapı  $R$ , normalize hız  $u$  ve basınç katsayı  $C_p(x, t)$  için (13), (14), (17) ve (18) kısmi türevli diferansiyel denklem sisteminin, (19) denklemindeki başlangıç koşullarını sağlayan sayısal çözümü gerekmektedir. Kavitasyonuzlu başlangıç koşullarından başlayıp kavitasyonlu duruma geçiş için gerekli hesaplama süresi bu gün için maalesef en hızlı bilgisayarlarla bile mümkün değildir. Bu kapsamda Preston vd. [13] çalışmasında bile kavitasyonuzlu durum yerine başlangıç koşulu, kavitasyonlu daimi akış çözümlerinden belirlenmektedir. Bu durumda lüle çıkışındaki basınç kayiplarını göstermek üzere çıkış basınç değerlerinin sınır koşulu olarak belirlenmesi gerekmektedir. Bundan dolayı bu çalışmada da daimi olmayan kavitasyonlu akışlar için başlangıç değerleri

$$R(x, 0) = R_0(x), \quad u(x, 0) = u_0(x) \quad (21)$$

sanki-daimi kavitasyonlu akışların çözümünden elde edilmektedir. Bu çözüm yönteminde belirlenen lüle kesit alanı  $A(x)$  için sanki-daimi kavitasyonlu akış iteratif olarak belirlenir. Lüle boyunca hız değişiminin basınç ve kabarcık yarıçapı dağılımının daha yavaş değiştiği gözönüne alındığında, iteratif yönteme kavitasyonuzlu durumda hız dağılımı  $u_0(x) = (1 - \beta_0)/A(x)$  ile başlanır. Bu hız alanı kullanılarak (17)-(18) denklemleri Rayleigh-Plesset denklemi (5) ile birlikte, denge durumunda sabit lüle giriş yarıçapı ( $R(0) = 1$ ,  $\dot{R}(0) = 0$ ) kabul edilip, giriş ve çıkış basınç katsayıları sınır koşulları ( $C_1(0) = 0$ ,  $C_2(0) = C_{pL}$ ) kullanılarak daimi kavitasyonlu akışlar için çözülür. Bu durumda problemin başlangıç değer problemine dönüştürülmesinde çözüm tekniği açısından yarar vardır. Rayleigh-Plesset denklemi için her ne kadar başlangıç koşulları verilmişse de, basınç katsayı için lüle giriş ve çıkışında sınır koşulları verilmiştir. Dolayısıyla basınç katsayı için de (17) ve (18) denklemlerinin başlangıç değer problemine indirgenmesi gereklidir. Bunun için atış isabeti yöntemi kullanılır. Bu yöntemde  $C_1(0) = 0$  başlangıç koşuluna ilaveten  $\partial C_p / \partial x(0, 0)$  başlangıç koşulu  $C_2(0) = C_{pL}$  olacak şekilde tahmin edilir. Böylece (5), (17) ve (18) denklemleri dördüncü mertebe Runge-Kutta-Fehlberg yöntemi kullanılarak  $R_0(x)$  ve  $C_{p0}(x)$  için çözülür. Hız dağılımı  $u_0(x) = (1 - \beta_0) / [(1 - \beta) A(x)]$  olarak düzeltildir.

Bulunan bu daimi olmayan kavitasyonlu akışın başlangıç çözümü, benzetim yapılacak zaman süreleri için ortalama değer olarak kabul edilebilir zira daimi olmayan akış çözümlerinin reel zaman benzetimleri ancak bu ortalamadan sapmaları, ya da ortalama değer etrafındaki çalkantıları belirler. Bu çalkantılar  $t$  anındaki çözüm

**SANKI-BİR BOYUTLU KAVİTASYONLU LÜLE AKIŞLARININ YENİ KABARCIK GAZ BASINCI YASASIYLA MODELLENMESİ**

kullanılarak (13) ve (14) evrim denklemlerinin çözümünden  $t + \Delta t$  anındaki kabarcık yarıçapı ve akış hızı bulunur. Özellikle normalize akış hızı evrim denklemi için MacCormack sayısal benzetim yöntemi için

$$\frac{\partial u}{\partial t} = -\frac{\partial}{\partial x} \left( \frac{u^2}{2} \right) - \frac{(R^3 / \kappa_0^3 + 1)}{2} \frac{\partial C_p}{\partial x} \quad (22)$$

şeklinde yazılır ve  $t$  anındaki çözümden  $t + \Delta t$  anındaki akış hızı hesaplanır. Hesaplanan akış hızı ile

$$\Psi = \ln(R^3 / \kappa_0^3 + 1) \quad (23)$$

olmak üzere

$$\frac{\partial \Psi}{\partial t} = -\frac{\partial}{\partial x}(u\Psi) + (\Psi + 1) \frac{\partial u}{\partial x} + \left( \frac{1}{A} \frac{dA}{dx} \right) u \quad (24)$$

denklemi çözülperek  $t + \Delta t$  anındaki kabarcık yarıçapı bulunur. Bunlar kullanılarak (17) ve (18) denklemlerinin atış isabeti yöntemiyle  $t + \Delta t$  anındaki basınç katsayıları hesaplanır.

Yukarıda küresel kabarcık dinamığını betimleyen Rayleigh-Plesset denklemi (5) ile elde edilen sonuçlara ilaveten, ayrıca ticari kodlardaki Schnerr-Sauer [17], Zwart [18], Shingal [19] kavitasyon modellerinde kullanılan Rayleigh denklemının yerine iyileştirilmiş biçimi

$$\dot{R} = \frac{\partial R}{\partial t} + u \frac{\partial R}{\partial x} = \pm \sqrt{\frac{C_p + \sigma[1 - (1/R^{3\Gamma})]}{3}} \quad (25)$$

ele alınmıştır ( $C_p > -\sigma[1 - (1/R^{3\Gamma})]$  için (+),  $C_p < -\sigma[1 - (1/R^{3\Gamma})]$  için (-) işaretini alınmalıdır). Böylece ticari kodlarda kullanılmak üzere (13), (14) evrim denklemleriyle birlikte (17), (18) ve (25) denklemlerinden oluşan kısmi türevli sistem daimi olmayan lüle akışları için uygun başlangıç ve sınır koşullarında sayısal olarak çözülmüş ve sonuçlar Rayleigh-Plesset denklemiyle elde edilen sonuçlar ve özellikle lüle deneylerinde basınç sensörleriyle okunan basınç katsayıları değerleriyle karşılaştırılmıştır.

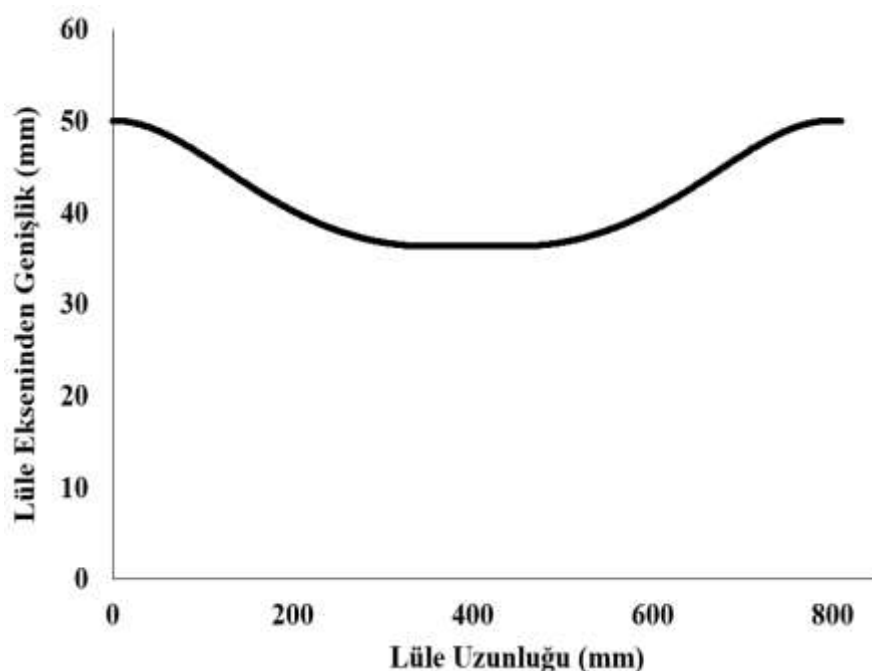
### 3. BULGULAR VE İRDELENMESİ

Sayısal çözümler için deney koşullarına uygun olarak lüle girişindeki ortalama kabarcık yarıçapı  $R'_0 = 100\mu\text{m}$ , ortalama giriş hızı  $U'_0 = 8 \text{ m/s}$  alınarak  $20^\circ\text{C}$  sıcaklığındaki hava kabarcıklı su akışı göz önünde bulundurulmuştur. Hesaplamalar lüle girişindeki hacimsel kabarcık oranı  $\beta_0$  ve ıslık sönübü karakterize eden (7) denklemindeki  $f$  parametreleri değiştirilerek yapılmıştır. Bu koşullarda Reynolds sayısı  $Re = 800$  ve Weber sayısı  $We = 90,14$  değerindedir. Kavitasyonlu lüle deneylerinde basınç ölçümlerinin alındığı kuvvetli ve zayıf kavitasyon durumları için (13), (14), (17) ve (18) denklemleri için Rayleigh-Plesset çözümleri, (13), (14) ve (26) denklemleri için ticari kodlarda kullanılan kavitasyon model çözümleri, dördüncü mertebe Runge-Kutta-Fehlberg yöntemi kullanılarak indirgenmiş yasadaki  $f$  parametresinin değişik değerleri için hesaplanmıştır. Bu çözümlerin başlangıç alan değerleri, sanki-daimi ortalama çözümü betimlemekte olup zamanla değişimler bu çözüm üzerindeki dalgalanmaları vermektedir. Bu çalışmada göz önüne alınan zaman sürelerinde önemli dalgalanmalara rastlanmadığından, sadece hesaplanan sanki-daimi ortalama çözüm sonuçları incelenmiştir. Şekillerde lüle boyunca boyutsuz  $x$  koordinatı  $x = x'/(70R'_0)$  olacak şekilde normalize edilmiştir. Sayısal sonuçlardaki boyutsuz lüle kesit alan  $A(x)$  ise, kavitasyonlu lüle akışı deneylerinde kullanılmak üzere imal edilen lüle kesit alanı olarak

$$A(x) = \begin{cases} \frac{1}{\sqrt{1 - 0,5 C_{p\min} (1 - \cos(2\pi \frac{x'}{L'}))}} & 0 \text{mm} < x' < 350 \text{mm} \\ \frac{1}{\sqrt{1 - C_{p\min}}} & 350 \text{mm} < x' < 450 \text{mm} \\ \frac{1}{\sqrt{1 - 0,5 C_{p\min} (1 - \cos(2\pi \frac{x' - 100}{L'}))}} & 450 \text{mm} < x' < 800 \text{mm} \end{cases} \quad (26)$$

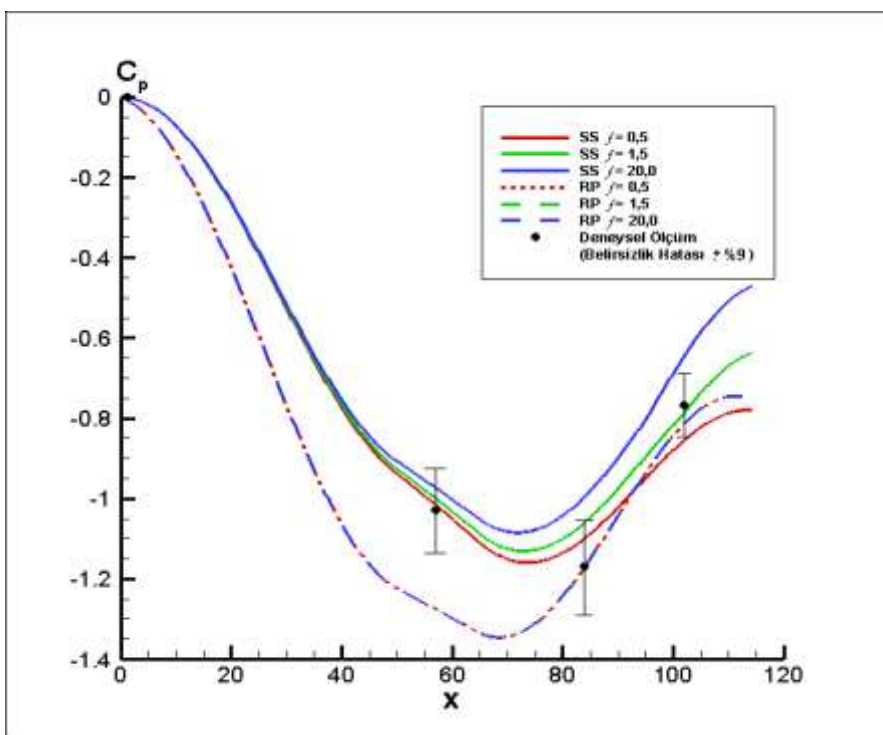
almıştır. Burada  $C_{p\min} = -0,9$ ,  $L' = 800 \text{ mm}$  değerindedir. Şekil 1 lüle çeperinin geometrisini göstermektedir..

Kuvvetli kavitasyonlu sanki-bir boyutlu lüle akışları için (kavitasyon katsayısı  $\sigma = 1,245$ ) ortalama basınç katsayıları ve kabarcık yarıçaplarının lüle boyunca değişimleri, Rayleigh-Plesset (RP) çözümlerinde  $\beta_0 = 1,0 \times 10^{-6}$  ve  $\partial C_p / \partial x(0,0) = -5,4 \times 10^{-3}$  değerleri, iyileştirilmiş Schnerr-Sauer (SS) çözümlerinde ise  $\beta_0 = 1,88 \times 10^{-1}$  değeri kullanılarak  $f$  parametresinin değişik değerleri ( $f = 0,5, 1,5$  ve  $20,0$ ) için Şekil 2 ve Şekil 3'te gösterilmektedir. Kuvvetli kavitasyon durumunda  $f$  parametresinin değişik değerleri için basınç katsayıları deney ölçümleriyle karşılaştırıldığında RP çözümlerinin  $f$  parametresine bağlılık göstermediği, ancak SS çözümlerinde basınç katsayılarının  $f$  parametresine göre görülebilir farklılıklar gösterdiği görülmektedir. Bu durumda RP çözümü  $x = 57$ 'de deneyden sapma gösterirken, SS çözümü  $f = 1,5$  değeri için en iyi sonucu vermektedir (deneyde ölçülen statik basınç hatası  $\pm 3$  kPa civarında olup  $C_p$  belirsizlik değerleri  $\pm 9\%$  olarak Şekil 2'de gösterilmiştir).

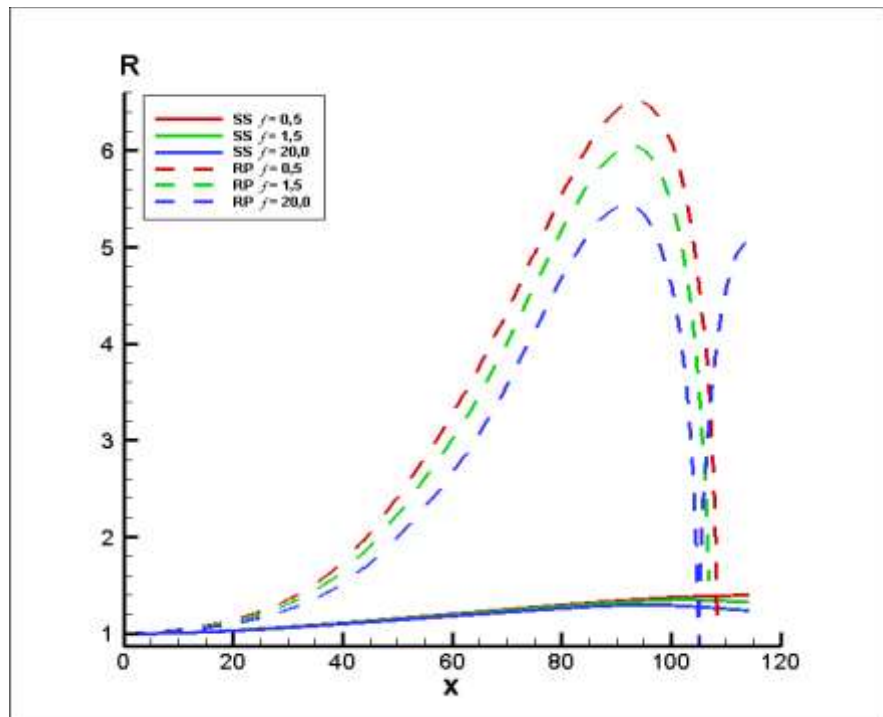


Şekil 1. Lüle çeperinin geometrisi.

**SANKI-BİR BOYUTLU KAVİTASYONLU LÜLE AKIŞLARININ YENİ KABARCIK GAZ BASINCI YASASIYLA MODELLENMESİ**

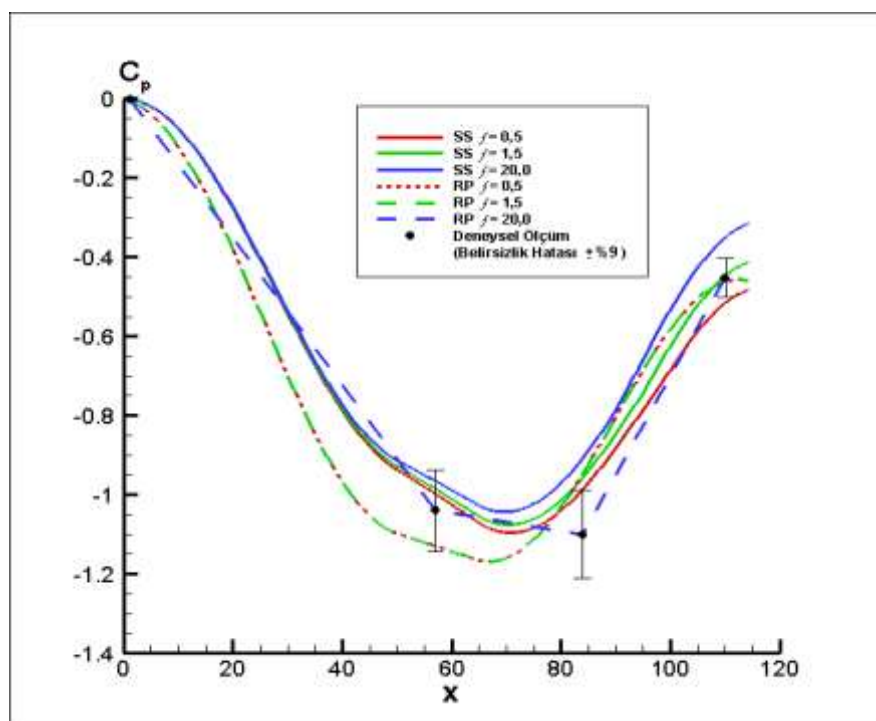


**Şekil 2.** Kuvvetli kavitasyon durumunda  $f$  parametresinin değişik değerleri ( $f = 0,5, 1,5$  ve  $20,0$ ) için sanki daimi ortalama basınç katsayılarının lüle boyunca değişimleri ve deneysel ölçümlerle karşılaştırılması.



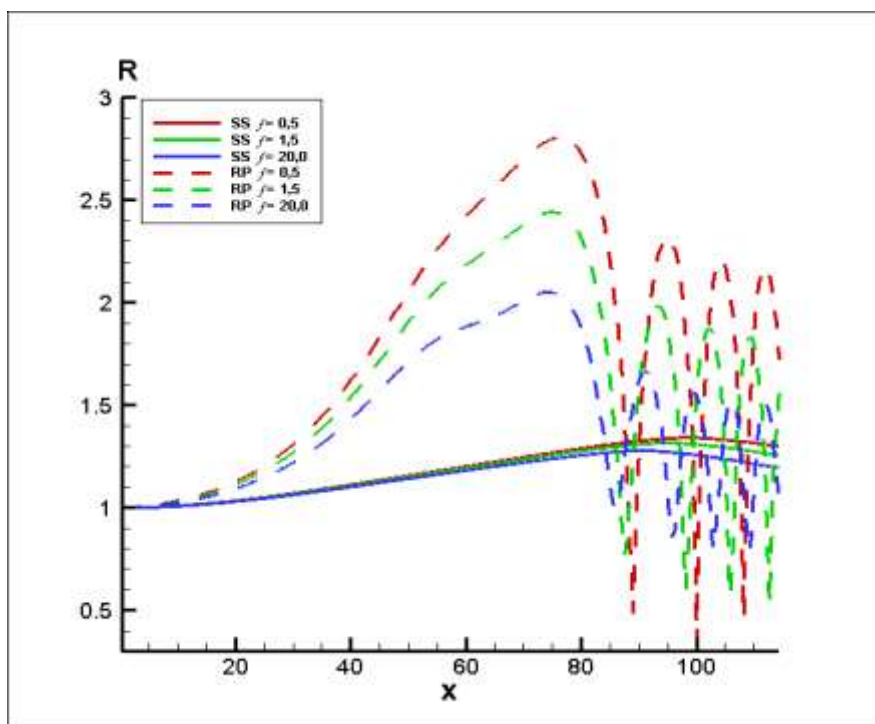
**Şekil 3.** Kuvvetli kavitasyon durumunda  $f$  parametresinin değişik değerleri ( $f = 0,5, 1,5$  ve  $20,0$ ) için kabarcık yarıçaplarının lüle boyunca değişimleri ve deneysel ölçümlerle karşılaştırılması.

Zayıf kavitasyonlu sanki-bir boyutlu lüle akışları için (kavitasyon katsayısı  $\sigma = 1,217$ ) ortalama basınç katsayıları ve kabarcık yarıçaplarının lüle boyunca değişimleri, Rayleigh-Plesset (RP) çözümlerinde  $\beta_0 = 1,0 \times 10^{-6}$  ve  $\partial C_p / \partial x(0,0) = -3,3 \times 10^{-3}$  değerleri, iyileştirilmiş Schnerr-Sauer (SS) çözümlerinde ise  $\beta_0 = 1,45 \times 10^{-1}$  değeri kullanılarak  $f$  parametresinin değişik değerleri ( $f = 0,5, 1,5$  ve  $20,0$ ) için Şekil 4 ve Şekil 5'te gösterilmektedir (deneyde ölçülen statik basınç hatası  $\pm 3$  kPa civarında olup belirsizlik değerleri  $\pm 9\%$  olarak Şekil 4'te gösterilmiştir). Zayıf kavitasyon durumunda da benzer durum görülmektedir. Bu durumda da  $f$  parametresinin değişik değerleri için basınç katsayıları deney ölçümüyle karşılaştırıldığında RP çözümlerinin  $f$  parametresine bağlılık göstermediği, ancak SS çözümlerinde basınç katsayılarının  $f$  parametresine göre görülebilir farklılıklar gösterdiği görülmektedir. Basınç katsayısının SS çözümünde yine  $f = 1,5$  değeri için en iyi sonucu vermektedir. Sonuç olarak iyileştirilmiş SS modelinde  $f$  parametresinin 1,5 civarında alınması önerilmektedir.



**Şekil 4.** Zayıf kavitasyon durumunda  $f$  parametresinin değişik değerleri ( $f = 0,5, 1,5$  ve  $20,0$ ) için sanki-daimi ortalama basınç katsayılarının lüle boyunca değişimleri ve deneySEL ölçüm (Belirsizlik Hatası  $\pm 9\%$ ) karşılaştırılması.

**SANKI-BİR BOYUTLU KAVİTASYONLU LÜLE AKIŞLARININ YENİ KABARCIK GAZ BASINCI YASASIYLA MODELLENMESİ**



**Şekil 5.** Zayıf kavitasyon durumunda  $f$  parametresinin değişik değerleri ( $f = 0,5, 1,5$  ve  $20,0$ ) için kabarcık yarıçaplarının lüle boyunca değişimleri ve deneysel ölçümlerle karşılaştırılması.

#### 4. SONUÇLAR

Bu çalışmada kabarcık dinamiğinde ıslı sönüm mekanizmasını içeren bir kabarcıklı sıvı hidrodinamik kavitasyon modeli inşa edilmiştir. Kavitasyon modelinde kabarcıklı sıvı iki-fazlı homojen karışım olarak kabul edilmiş ve kabarcık çekirdeklesme süreci göz önünde bulundurulmamıştır. Kavitasyon modelinin uygulaması olarak sanki-bir-boyutlu lüle akışları, küresel kabarcık dinamiğini betimleyen Rayleigh-Plesset denklemi ve akustik kavitasyon için geliştirilmiş yeni kabarcık gaz yasasıyla birlikte ele alınmıştır. Kabarcık yarıçapı, akış hızı ve basınç katsayısı için elde edilen birinci mertebeden diferansiyel denklem sistemi için tanımlanan başlangıç değer problemi Runge-Kutta-Fehlberg uyarlanmış adım büyülüğu yöntemi ile sayısal olarak çözülmüştür. Elde edilen sonuçlar gerek mevcut ticari kodların sayısal çözüm sonuçlarıyla, gerek kavitasyonlu lüle akış deneylerindeki statik basınç ölçümle karşılaştırılarak irdelenmiştir.

Geliştirilmekte olan yeni kavitasyon modeli, santrifüj pompalarındaki kavitasyon performansını iyileştirmek amacıyla kullanılacaktır. Nihai amaç, deneysel ve modele dayanan kavitasyon performans karakteristiklerinin sınanarak daha gerçekçi bir kavitasyon modelinin literatüre kazandırılmasıdır.

#### TEŞEKKÜR

Bu çalışma 117M072 no. lu TÜBİTAK 1001 projesiyle desteklenmiştir.

#### KAYNAKLAR

- [1] HAMMITT, F. G., *Cavitation and Multiphase Flow Phenomena*, McGraw-Hill, New York, 1980.
- [2] YOUNG, F. R., *Cavitation*, McGraw-Hill, London-1989.
- [3] BRENNEN, C. E., *Cavitation and Bubble Dynamics*, Oxford University Press, 1995.
- [4] FRANC, J.P., MICHEL, J.M., *Fundamentals of Cavitation*, Kluwer Academic Publishers, The Netherlands, 2004.

- [5] PLESSET, M.S., PROSPERETTI, A., "Bubble Dynamics and Cavitation", Annual Review of Fluid Mechanics, 9, 145-185, 1977.
- [6] WIJNGAARDEN, L.V., "One-Dimensional Flow of Liquids Containing Small Gas Bubbles", Annual Review of Fluid Mechanics, 4, 369-396, 1972.
- [7] TANGREN, R. F., DODGE, C. H., SEIFERT, H. S., "Compressibility Effects in Two-Phase Flow", Journal of Applied Physics, 20, 637-645, 1949.
- [8] ISHII, R., UMEDA, Y., MURATA, S., SHISHIDO, N., "Bubbly Flows Through a Converging Diverging Nozzle", Physics of Fluids, A 5, 1630-1643, 1993.
- [9] WIJNGAARDEN, L.V., "On the Equations of Motion for Mixtures of Liquid and Gas Bubbles", Journal of Fluid Mechanics, 33, 465-474, 1968.
- [10] WANG, Y.C., BRENNEN, C.E., "One-Dimensional Bubbly Cavitating Flows through a Converging-Diverging Nozzle", ASME Journal of Fluids Engineering, 120, 166-170, 1998.
- [11] DELALE, C.F., SCHNERR, G.H., SAUER, J., "Quasi-One-Dimensional Steady-State Cavitating Nozzle Flows", Journal of Fluid Mechanics, 427, 167-204, 2001.
- [12] PASİNLIÖĞLU, Ş., DELALE, C.F., SCHNERR, G.H., "On the Temporal Stability of Steady-State Quasi-1D Bubbly Cavitating Nozzle Flow Solutions", IMA Journal of Applied Mathematics, 74, 230-249, 2009.
- [13] PRESTON, A., COLONIUS, T., BRENNEN, C.E., "A Numerical Investigation of Unsteady Bubbly Cavitating Nozzle Flows", Physics of Fluids, 14, 300-311, 2002.
- [14] DELALE, C.F., BAŞKAYA, Z., PASİNLIÖĞLU, Ş., SCHNERR, G.H., "Semianalytical Solution of Unsteady Quasi-One-Dimensional Cavitating Nozzle Flows", Journal of Engineering Mathematics, 86, 49-70, 2014.
- [15] PRESTON, A., COLONIUS, T., BRENNEN, C.E., "A Reduced-Order Model of Diffusive Effects on the Dynamics of Bubbles", Physics of Fluids, 19, Art. No: 123302, 2007.
- [16] DELALE, C.F., PASİNLIÖĞLU, Ş., "A Reduced Order Gas Pressure Law for Acoustic Cavitation Bubbles", Proceedings of the 10th International Symposium on Cavitation (CAV2018) (ed. Joseph Katz) Baltimore, USA, 2018.
- [17] SCHNERR, G.H., SAUER, J., "Physical and Numerical Modeling of Unsteady Cavitation Dynamics", Fourth International Conference in Multiphase Flow, New Orleans, USA, 2001.
- [18] ZWART, P.J., GERBER, G., BELAMRI, T., "A Two-Phase Flow Model for Prediction Cavitation Dynamics", Proceedings: 5th International Conference on Multiphase Flow (ICMF 2004), Yokohama, 2004.
- [19] SINGHAL, A.K., ATHAVALE, M.M., JIANG, H. L, "Mathematical Basis and Validation of the Full Cavitation Model", Journal of Fluids Engineering, 124, 617-624, 2002.